

## تعیین تابع توزیع احتمالاتی یخنده‌های ایران طی ۱۹۸۱-۲۰۱۰

دریافت مقاله: ۹۶/۸/۱۲ پذیرش نهایی: ۹۷/۱/۱۵

صفحات: ۱-۱۵

محمد دارائی: دانشجوی دکتری اقلیم شناسی دانشگاه تبریز، ایران.<sup>۱</sup>

daraei\_mohammad@yahoo.com

بیمان محمودی: استادیار اقلیم شناسی و عضو هیئت علمی دانشگاه سیستان و بلوچستان، زاهدان، ایران.

p\_mahmoudi@gep.usb.ac.ir

بهروز ساری صراف: استاد اقلیم شناسی و عضو هیئت علمی دانشگاه تبریز، ایران.

sarisarraf@tabrizu.ac.ir

علی محمد خورشیددوست: استاد اقلیم شناسی و عضو هیئت علمی دانشگاه تبریز، ایران.

khorshid@tabrizu.ac.ir

### چکیده

هدف این پژوهش شناسایی بهترین تابع توزیع احتمالاتی برای استخراج ویژگی‌های آماری یخنده‌های ایران بوده است. بدین منظور تاریخ یخنده‌های زودرس پاییزه و دیررس بهاره با استفاده از دمای کمینه روزانه ۴۴ ایستگاه همدید ایران برای یک دوره ۳۰ ساله (۱۹۸۱-۲۰۱۰) استخراج شد. پس از برآش توزیع‌های گوناگون، با استفاده از آزمون نکوبی برآش آندرسن-دارلینگ بهترین توزیع انتخاب گردید. نتایج نشان داد که بیشتر ایستگاهها از توزیع ویکبی پیروی می‌کنند. بر اساس محاسبات انجام شده اولین روز یخنده‌ان در ارتفاعات شمال غربی (سقز، همدان، اردبیل و زنجان)، شمال شرقی (جنورد، تربت حیدریه و بیرون‌جند و همچنین در ارتفاعات زاگرس مرکزی (شهرکرد) به دلیل نزدیکی بیشتر با سرزمین‌های سرد شمالی، همچون سیبری و اروپای شمالی و همچنین ورود زودتر سیستم بادهای غربی اتفاق افتاده و دیرترین رخداد اولین روز یخنده‌ان کمی دورتر از سواحل جنوبی ایران در نوار باریکی موازی با ساحل و قسمت‌هایی از سواحل شمالی (از بابلسر تا بندر انزلی) انجام گردیده و همچنین زودترین رخداد آخرین روز یخنده‌ان در همین ناحیه در اوایل بهمن بوده است. دیرترین روز پایان یخنده‌ان در ایران در آذربایجان، کردستان، خراسان و ارتفاعات استان چهارمحال و بختیاری مشاهده شد.

کلیدواگان: ایران، یخنده‌ان زودرس، یخنده‌ان دیررس، توزیع احتمالاتی، ویکبی.

۱. نویسنده مسئول: آذربایجان شرقی، تبریز، دانشگاه تبریز، دانشکده جغرافیا و برنامه‌ریزی، ۰۹۱۴۱۸۴۵۱۵۳

## مقدمه

شرایط آب و هوایی یک منطقه، تعیین کننده‌ی نوع محصولاتی است که در آن منطقه به عمل می‌آید. یکی از مهمترین عوامل آب و هوایی که تاثیر زیادی در میزان تولید محصولات کشاورزی در یک منطقه دارد عامل یخنیان است. پدیده‌ی یخنیان بر اثر نزول دما به آستانه‌های بحرانی ایجاد می‌گردد و در صورت شدید و طولانی بودن آن می‌تواند خسارات زیادی را به محصولات کشاورزی وارد نماید. از دیدگاه هواشناسی هنگامی که دمای کمینه به زیر صفر درجه‌ی سلسیوس برسد یخنیان رخ می‌دهد. اگرچه دماهای صفر و زیر صفر درجه‌ی سلسیوس در فصل سرد سال و در عرض‌های میانی لزوماً یک پدیده حدی به شمار نمی‌آیند، اما مانندگاری طولانی مدت آن‌ها در یک ناحیه‌ی وسیع و یا موقع ناگهانی آن‌ها در ابتدا و انتهای فصل سرما می‌تواند این دماها را به یک پدیده‌ی حدی تبدیل کند ( محمودی، ۱۳۹۱: ۱). با توجه به اینکه اولین سرماه‌ای پاییزه و آخرین سرماه‌ای بهاره به علت غافلگیر نمودن کشاورزان و عدم اتخاذ تدبیر لازم توسط آن‌ها، می‌تواند خسارت بارترین نوع یخنیان‌ها باشد، لذا از دیرباز اطلاع از این تاریخ‌ها، مورد توجه محققین بخش هواشناسی و اقلیم‌شناسی بوده است ( محمودی و همکاران، ۱۳۹۲: ۵۶). اگرچه پدیده‌ی یخنیان به عنوان پدیده‌ای تصادفی به طور دقیق قابل پیش‌بینی نیست، ولی از مشاهدات پیاپی آن آگاهی‌های مفیدی به دست می‌آید که از طریق قوانین احتمالاتی قابل تعریف است. بنابراین، فهم بخش مهمی از مکانیزم یخنیان‌ها منوط به شناخت احتمال وقوع این پدیده است ( عساکره، ۱۳۸۹: ۲). آگاهی دقیق از احتمال وقوع دمای بحرانی آسیب‌رسان در هر تاریخ معین در بهار و پاییز برای تعیین تاریخ کاشت و برداشت محصولات و نیز انتخاب محل مناسب با طول فصل رشد و اتخاذ سیستم‌های محافظت از یخنیان برای پرهیز از خسارات یخنیان مفید می‌باشد ( محمودی، ۱۳۹۱: ۳). از این رو آگاهی از رخداد زمانی آن مورد توجه پژوهشگران بوده است. به طوریکه تام و شاو<sup>۱</sup> ( ۱۹۵۸) با استخراج اولین و آخرین یخنیان‌های زودرس پاییزه و دیررس بهاره برای ایالت آیوا در ایالات متحده نشان دادند که تاریخ‌های وقوع این یخنیان‌ها تصادفی بوده و از توزیع نرمال تبعیت می‌کنند. روزنبرگ و مایرز<sup>۲</sup> ( ۱۹۶۲) با پذیرفتن نرمال بودن توزیع آماری تاریخ رخداد یخنیان‌ها در دره‌ی پلیت نبراسکا<sup>۳</sup> تاریخ رخداد اولین و آخرین یخنیان‌های تابشی و فرارفتی پاییزه و بهاره را مشخص نمودند. کوتیر و لیدوک<sup>۴</sup> ( ۱۹۹۵) در شمال شرق ایالات متحده‌ی آمریکا مشاهده نمودند که یک روند خطی منفی معنادار در تاریخ آغاز یخنیان‌های زودرس وجود دارد. تحلیل ویژگی‌های احتمالاتی یخنیان‌ها در جنوب و مرکز ایالت فلوریدا توسط ویلن<sup>۵</sup> ( ۱۹۸۸) برای ۲۵ ایستگاه مورد مطالعه تعیین شد. سیتادینی<sup>۶</sup> و همکاران ( ۲۰۰۶) در ناحیه‌ی پاتاگونیای آرژانتین توزیع احتمالاتی رخداد یخنیان‌ها را برای شش نقطه‌ی مختلف در منطقه مورد مطالعه برآورد کردند. آناندی و همکاران ( ۲۰۱۳) تاریخ شروع و خاتمه‌ی یخنیان‌های پاییزه و بهاره‌ی کانزاس ایالت متحده را در سطح احتمال ۹۵٪ و ۹۵٪ برآورد نمودند.

1- Thom and Shaw

2 -Rosenberg and Myers

3- Platte Valley of Nebraska

4 -Cooter and Leduc

5- Waylen

6 -Cittadini

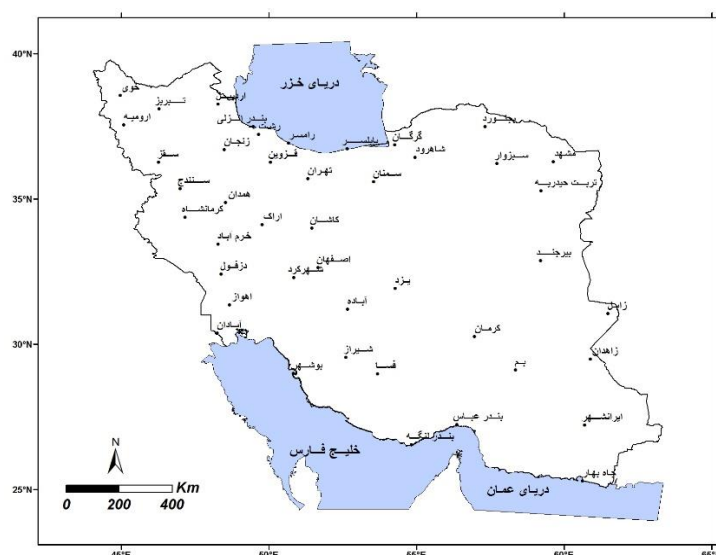
در ایران نیز پژوهش‌هایی در این راستا انجام شده است. پیش‌بینی سرماهای دیررس بهاره و زودرس پاییزه در سطوح مختلف احتمالاتی برای ایستگاه‌های استان چهارمحال و بختیاری بهوسیله‌ی خلجی (۱۳۸۰) انجام شد. کمالی و نوختندا (۱۳۸۴) با استفاده از تابع احتمال ویبول تاریخ آغاز و پایان یخنندان‌های ایران را به منظور تعیین نقش آن‌ها در حمل و نقل جاده‌ای در ایران شناسایی کردند. برآش داده‌های دماهای کمینه‌ی استان فارس بر توابع توزیع‌های مختلف نشان داد که دو تابع توزیع لوگ پیرسون تیپ ۳ و تابع توزیع پیرسون تیپ ۳ بهترین برآش را بر داده‌ها دارند (ضیایی و همکاران، ۱۳۸۵: ۱۳). در تجزیه و تحلیل یخنندان در استان لرستان مشخص شد که توزیع نرمال نسبت به بقیه‌ی توزیع‌ها با سری‌های موجود تناسب بیشتری دارد. زودترین رخداد یخنندان در ایستگاه‌های ناصرالدین و الیگودرز در روزهای ۱۲ و ۱۳ آبان و دیرترین روز در خرم‌آباد ۲۲ آذر رخ داده است. در مورد خاتمه‌ی یخنندان نیز زودترین ایستگاهی که در آن یخنندان پایان می‌یابد مربوط به ایستگاه خرم‌آباد ۲۵ بهمن ماه است و دیرترین ایستگاه الیگودرز ۱۰ اردیبهشت است (حجازی‌زاده و ناصرزاده، ۱۳۸۶: ۳۹). نوحی و همکاران (۱۳۸۷) مشخص نمودند که سری‌های تاریخ‌های شروع و خاتمه‌ی یخنندان‌های فرارفتی در نواحی زنجان، قزوین و تهران تصادفی بوده و با توزیع نرمال برآش خوبی دارند. نتایج پژوهش اقتداری و همکاران (۱۳۸۶) نشان داد که در استان خراسان رضوی زودترین و دیرترین میانگین تاریخ آغاز یخنندان فرارفتی به ترتیب در ۲۹ آبان و ۲۶ آذر در ایستگاه‌های قوچان و بشرویه بوده و یخنندان‌های فرارفتی در ۲۰ اسفند در ایستگاه بشرویه، زودتر و در ۱۸ فروردین در ایستگاه قوچان دیرتر پایان می‌پذیرد. همچنین میان آبادی و همکاران (۱۳۸۸) دریافتند که رخداد یخنندان‌های پاییزه از شمال استان خراسان رضوی آغاز و سپس مناطق جنوبی را در بر می‌گیرد. علاوه بر این یخنندان‌های بهاره در جنوب استان زودتر به پایان می‌رسد. در تهران محدوده‌ی تاریخ سرمازدگی در پاییز از ۸ آذر تا ۲۱ آذر و در بهار از ۱۳ فروردین تا ۲۵ فروردین اتفاق می‌افتد (کمالی، ۱۳۸۸: ۱۵۰). بررسی رضایی و عابد (۱۳۸۹) نشان داد که تاریخ‌های شروع یخنندان پاییزه و پایان یخنندان بهاره‌ی رشت از تابع توزیع احتمال نرمال تعیت می‌نماید. زمان متوسط وقوع یخنندان زودرس پاییزه روز ۲۳ آذر است و تاریخ متوسط وقوع یخنندان دیررس بهاره ۱۴ اسفند هر سال است. حسینی و همکاران (۲۰۱۲) با مدل اتورگرسیو فصلی برای برآورد احتمال یخنندان در رفسنجان به این نتیجه رسیدند که یخنندان پس از ۱۰ روز گرم در دوره‌ی رشد اتفاق می‌افتد. براساس بررسی‌های انجام شده بر روی احتمال وقوع یخنندان‌های کرج، اولین یخنندان زودرس پاییزه بعد از ۱۶ آذر و قبل از ۲۹ آبان ۲۰۰ درصد و همچنین احتمال وقوع آخرین یخنندان‌های زودرس پاییزه و قبل از ۲۶ اسفند ۲۰ در صد می‌باشد (محمدی و گزل خو، ۱۳۸۹: ۹۳). طاوسی و درخشی (۱۳۸۹) توزیع پیرسون تیپ ۳ را بهترین توزیع برآش داده شده بر داده‌های ژولیوسی اولین یخنندان‌های زودرس پاییزه و آخرین یخنندان‌های دیررس بهاره ایستگاه زاهدان تشخیص داده‌اند. وقوع یخنندان‌های دو ماه اکتبر و مه در ایران، که به ترتیب به یخنندان‌های زودرس پاییزی و یخنندان‌های دیررس بهاری مشهور هستند، دارای ویژگی زنجیره‌ی مارکوف مرتبه اول دو حالت‌هاند؛ یعنی وقوع یخندان فقط به شرایط اقلیمی روز گذشته مرتبط است. به عبارت دیگر، حاکمیت با تداوم‌های دو روزه است (علیجانی و همکاران، ۱۳۸۹: ۱). یخنندان‌های استان زنجان در فصل پاییز بین ۷ مهر تا ۲۴ آبان رخ می‌دهند و میانگین خاتمه‌ی یخنندان‌ها از ۲۰

فروردين تا ۳۰ اردیبهشت است (میرموسوی و بابایی، ۱۳۹۰: ۱۶۷). یافته‌های مولی‌نژاد (۱۳۹۳) حاکی از آن است که در سقز بین تاریخ شروع یخندان‌های پاییزه با تاریخ خاتمه‌ی یخندان‌های بهاره، حداقل دمای ماه سپتامبر و آوریل همان سال همبستگی معناداری وجود دارد. همچنان، مشخص شد که زودترین یخندان پاییزه و دیرترین یخندان بهاره در چه تاریخ‌هایی رخ داده است.

چنانکه از بررسی کارهای انجام شده در زمینه تعیین توزیع احتمال رخداد تاریخ شروع و پایان یخبندان‌ها بر می‌آید به صورت نقطه‌ای با یک یا چند ایستگاه بوده است و یا با توزیع‌های محدودی چون نرمال، پیرسون تیپ ۳، کامل و ویبول صورت گرفته است اما توزیع‌های احتمالات دیگری نیز وجود دارد که قابلیت برآش آن‌ها با داده‌های یخبندان وجود دارد. هدف این پژوهش بررسی بیش از ۱۲ توزیع احتمالاتی و ارزیابی میزان برآش آن‌ها با داده‌های تاریخ ژولیوسی آغاز و پایان یخبندان‌ها و برآورد تاریخ رخداد آن‌ها در سطوح احتمالاتی مورد نظر است. زیرا با آگاهی از تاریخ رخداد آن‌ها، می‌توان زمان کاشت محصول و گونه‌های مناسب جهت کاشت در هر منطقه‌ای را تعیین نمود و به علاوه با روش‌های مختلف، محصولات کشاورزی را در برابر یخبندان محافظت کرد.

روش تحقیق

برای تعیین بهترینتابع توزیع احتمالاتی یخبدانهای ایران داده‌های مربوط به دمای حداقل روزانه‌ی ۴۴ ایستگاه همدید برای یک دوره‌ی ۳۰ ساله (۲۰۱۰ - ۱۹۸۱) از سازمان هواشناسی ایران دریافت گردید. پراکنش ایستگاه‌های مورد مطالعه در سطح ایران در شکل شماره (۱) نشان داده شده است. ایستگاه‌های بندرعباس، بندرلنگه، بوشهر و چابهار بدون یخبدان هستند و ایستگاه‌های آبادان، اهواز و ایرانشهر که دارای میانگین کمتر از یک روز در سال در بازه‌ی زمانی مورد بررسی بودند، از محاسبات حذف شدند و برآش توزیع-های احتمالاتی، بر روی تاریخ آغاز و پایان رخداد یخبدانهای ایران، با ۳۷ ایستگاه انجام شد.



شکل (۱): پر اکنش ایستگاه‌های مورد مطالعه

بعد از تشکیل بانک اطلاعاتی، بازه‌ی زمانی ۳۰۳ روزه جهت مطالعه انتخاب شد. یعنی روز اول شهریور (۲۳ سپتامبر) به عنوان روز مبدا انتخاب و روزهای دیگر به ترتیب، نسبت به این مبدأ شمارش شدند و آخرین روز ۳۱ خرداد (۲۱ جولای) در نظر گرفته شد. پس از تنظیم داده‌ها بر اساس روز ژولیوسی، دو شاخص یخبدان شامل: نخستین روز و واپسین روز یخبدان (آستانه‌ی دمایی صفر و زیر صفر درجه سلسیوس) برای هر ایستگاه به صورت جداگانه استخراج گردیدند. سپس ۱۲ امور از توزیع‌های احتمالاتی نرمال، لوگ نرمال، پیرسون، گامبل، گاما، ویکی و ... جدول (۱) بر روی اطلاعات هر کدام از ایستگاه‌ها برآش داده شد. با استفاده از آزمون نکویی برآش آندرسن دارلینگ بهترین توزیع انتخاب گردید. آزمون آندرسن دارلینگ<sup>۱</sup> به صورت رابطه (۱) تعریف می‌شود (آندرسن، ۲۰۱۰: ۳):

$H_0$ : داده‌ها از توزیع مشخصی پیروی می‌کنند.

$H_1$ : داده‌ها از توزیع مشخصی پیروی نمی‌کنند.

$$A^2 = -N-S \quad \text{رابطه (۱)}$$

$$S = \sum_{i=1}^n \frac{(2i-1)}{N} [1nF(Y_i) + 1n(1 - F(Y_{n+1-i}))]$$

آماره‌ی آزمون،  $N$  حجم نمونه،  $F$  تابع توزیع تجمعی و  $Y_i$  داده‌های مرتب شده هستند.

جدول (۱): تابع چگالی احتمال و دامنه‌ی توزیع‌های منتخب

توزیع	تابع چگالی احتمال	دامنه
ویکی	$x(F) = \xi + \frac{\alpha}{\beta}(1 - (1 - F)^{\beta}) - \frac{\gamma}{\delta}(1 - (1 - F)^{-\delta})$	$\alpha \neq 0 \text{ or } \gamma \neq 0$ $\beta + \delta > 0 \text{ or}$ $\beta' = \gamma = \delta = 0$
حدی تعمیم یافته	$f_x = \begin{cases} \frac{1}{\sigma} \exp(-(1+kz)^{-\frac{1}{k}})(1+k)^{-1-\frac{1}{k}} & k \neq 0 \\ \frac{1}{\sigma} \exp(-z - \exp(\theta - z)) & k = 0 \end{cases}$	$1 + k \frac{(x - \mu)}{\sigma} > 0 \text{ for } k \neq 0$ $-\infty < x < +\infty \text{ for } k = 0$
گامبل (حد اقل و حد اکثر)	$f(x) = \frac{1}{\sigma} \exp(-z - \exp(-z))$	$-\infty < x < +\infty$
نرمال	$f(x) = \frac{\exp\left(-\frac{1}{2}\left(\frac{x-\mu}{\sigma}\right)^2\right)}{\sigma\sqrt{2\pi}}$	$-\infty < x < +\infty$
بتا	$f(x) = \frac{1}{B(\alpha_1, \alpha_2)} \frac{(x-a)^{\alpha_1-1} (b-x)^{\alpha_2-1}}{(b-a)^{\alpha_1+\alpha_2-1}}$	$a \leq x \leq b$

۱ -Anderson Darling

لوجستیک تعمیم یافته	$f(x) = \begin{cases} \frac{(1+kz)^{-1-1/k}}{\sigma(1+(1+kz)^{-1/k})^2} & k \neq 0 \\ \frac{\exp(-z)}{\sigma(1+\exp(-z))^2} & k = 0 \end{cases}$	$\begin{array}{ll} 1+k\frac{(x-\mu)}{\sigma} > 0 & \text{for } k \neq 0 \\ -\infty < x < +\infty & \text{for } k = 0 \end{array}$
گاما	$f(x) = \frac{(x-\gamma)^{\alpha-1}}{\beta^\alpha \Gamma(\alpha)} \exp(-(x-\gamma)/\beta)$	$\gamma \leq x < +\infty$
(4p) گاما تعمیم یافته	$f(x) = \frac{k(x-\gamma)^{k\alpha-1}}{\beta^{k\alpha} \Gamma(\alpha)} \exp(-((x-\gamma)/\beta)^k)$	$\gamma \leq x < +\infty$
لوجستیک	$f(x) = \frac{\exp(-z)}{\sigma(1+\exp(-z))^2}$	$-\infty < x < +\infty$
لوگ لوجستیک	$f(x) = \frac{\alpha}{\beta} \left( \frac{x-\gamma}{\beta} \right)^{\alpha-1} \left( 1 + \left( \frac{x-\gamma}{\beta} \right)^\alpha \right)^{-2}$	$\gamma \leq x < +\infty$
(3p) ویبول	$f(x) = \frac{\alpha}{\beta} \left( \frac{x-\gamma}{\beta} \right)^{\alpha-1} \exp \left( - \left( \frac{x-\gamma}{\beta} \right)^\alpha \right)$	$\gamma \leq x < +\infty$

پس از انتخاب بهترین توزیع برای هر ایستگاه بر اساس آنها در سطوح احتمالاتی ۵۰٪، ۷۵٪ و ۹۵٪ روز آغاز و خاتمه‌ی یخبندان‌های ایران برآورد و نقشه‌های پهنه‌بندی آنها بر مبنای داده‌های ایستگاهی تهیه و نتایج به صورت نقطه‌ای تحلیل شد.

## نتایج

نتایج برآش توزیع‌های مورد نظر روی داده‌های ژولیوسی تاریخ آغاز و پایان رخداد یخبندان‌های ایران بیانگر این است که بیشتر ایستگاهها از توزیع ویکبی<sup>۱</sup> پیروی می‌کنند و این توزیع با داده‌های مشاهداتی در منطقه‌ی مورد مطالعه برآش بهتری دارد و توزیع منتخب بیشتر از ۵۰٪ ایستگاهها می‌باشد. به علاوه در بقیه‌ی ایستگاه‌ها در رتبه‌های بالا قرار دارد. لذا می‌توان در تحلیل‌های پیش‌بینی تاریخ احتمالی رخداد یخبندان از این توزیع بهره جست. توزیع ویکبی یک توزیع ۵ عاملی است و به همین دلیل نسبت به توزیع‌های دیگر که دارای عوامل کمتری هستند، انعطاف‌پذیری بیشتری دارد (ملکی نژاد و ملکشاهی، ۱۳۹۲: ۲۱). در رتبه‌ی بعدی توزیع‌های حدی تعمیم‌یافته<sup>۲</sup> و لوجستیک تعمیم‌یافته<sup>۳</sup> و لوگ‌لوجستیک<sup>۴</sup> (3p) با فراوانی به ترتیب با ۱۲/۵، ۱۲/۵ و ۱۰ درصد قرار دارند جدول (۲).

1- Wakeby

2 -Gen. Extreme value

3- Gen. Logistic

4- Log Logistic

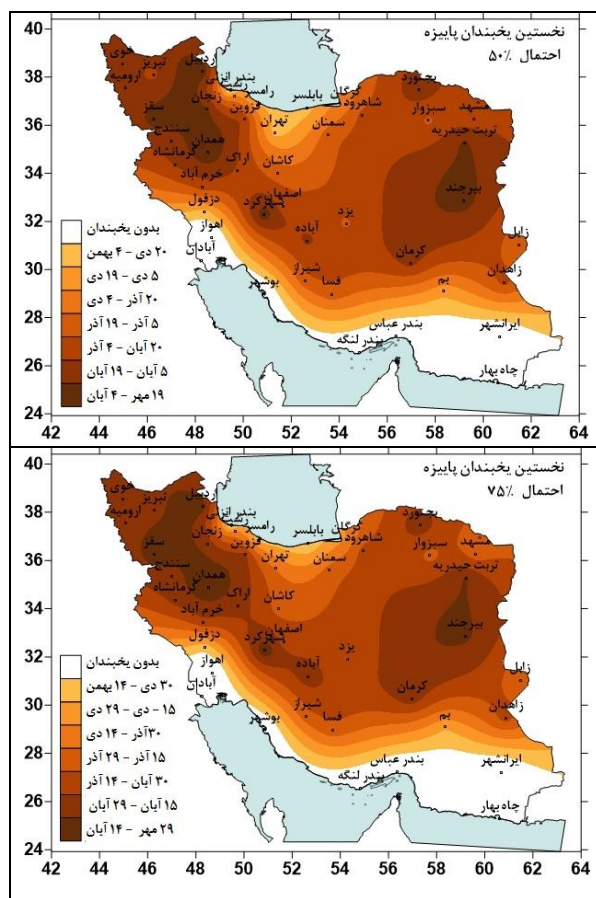
جدول(۲): بهترین توزیع گزینش شده‌ی روزهای آغاز و پایان یخبدان‌های ایر

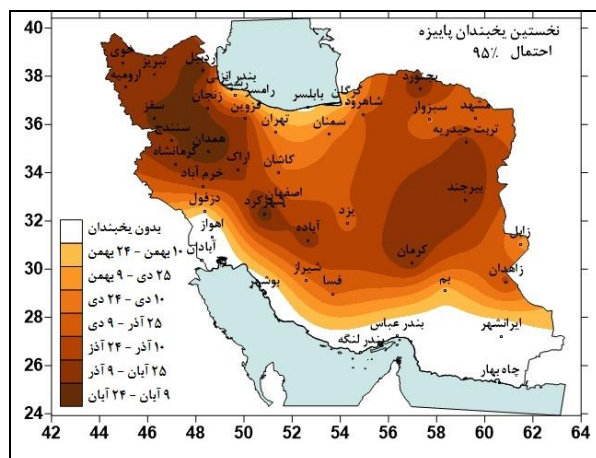
ایستگاه	آغاز یخبدان	ایستگاه	آغاز یخبدان	ایستگاه	آغاز یخبدان
خوی	ویکی	تربت حیدریه	حدی تعمیم یافته	گاما	ویکی
تبریز	لوگ لوجستیک(3p)	کرمانشاه	لوجستیک تعمیم یافته	ویکی	ویکی
اردبیل	ویکی	همدان	ویکی	ویکی	ویکی
ارومیه	ویکی	اراک	ویبول(3p)	ویکی	ویکی
انزلی	ویکی	خرم آباد	لوگ لوجستیک(3p)	ویکی	ویکی
رشت	ویکی	کاشان	لوجستیک تعمیم یافته	لوجستیک تعمیم یافته	لوجستیک تعمیم یافته
بنجورد	ویکی	دزفول	ویبول(3p)	ویکی	ویکی
سقز	گاما تعمیم یافته(4p)	شهرکرد	ویکی	ویکی	حدی تعمیم یافته
زنجان	ویکی	اصفهان	ویکی	ویکی	ویکی
قزوین	لوگ لوجستیک(3p)	بیرون	لوگ لوجستیک(3p)	لوگ لوجستیک(3p)	ویکی
رامسر	ویکی	آباده	ویکی	ویکی	ویکی
بابلسر	لوجستیک	بزد	گامبل حداقل	ویکی	ویکی
گرگان	ویکی	زابل	حدی تعمیم یافته	گامبل حداقل	گامبل حداقل
شهرورد	ویکی	کرمان	حدی تعمیم یافته	لوگ لوجستیک(3p)	لوگ لوجستیک(3p)
سبزوار	گامبل حداقل	شیراز	ویبول	لوگ لوجستیک(3p)	لوگ لوجستیک(3p)
مشهد	حدی تعمیم یافته	نرمال	گاما(3p)	بتا	بتا
سنندج	بتا	Zahedan	ویکی	ویکی	ویکی
تهران	ویکی	فسا	ویکی	حدی تعمیم یافته	حدی تعمیم یافته
سمنان	*	*	ویبول	ویبول	ویبول

### برآورد رخداد اولین روز یخبدان

بر اساس محاسبات انجام شده در سطح احتمالاتی ۵۰٪ (میانگین سالانه‌ی رخداد یخبدان) میانگین رخداد اولین روز یخبدان در حد فاصل ۱۹ مهر تا ۴ آبان در ارتفاعات شمال غربی (سقز، همدان، اردبیل و زنجان)، شمال شرقی (بنجورد، تربت حیدریه و بیرون) و همچنین در ارتفاعات زاگرس مرکزی (شهرکرد) رخ می‌دهد. بیشترین یخبدان‌های محور کوهستانی شمال غرب-جنوب‌شرق از نوع یخبدان‌های تابشی است و یخبدان‌های شمال شرق نتیجه‌ی پرفشار سیبری است و عمده‌ای از نوع یخبدان‌های وزشی است (مسعودیان، ۱۳۹۰: ۹۹). دیرترین میانگین آن نیز در حدفاصل ۲۰ دی تا ۴ بهمن کمی دورتر از سواحل جنوبی ایران در نوار باریکی موازی با ساحل و قسمت‌هایی از سواحل شمالی (از بابلسر تا بندر انزلی) رخ می‌دهد. بیشتر بخش‌های سواحل

جنوبی ایران بدون یخبندان هستند. نتایج پژوهش محمودی و همکاران (۱۳۹۲) مشابهت زیادی با نتایج این پژوهش دارد. چنانچه از بررسی نقشه‌های پراکنش فضایی رخداد تاریخ یخبندان‌های زودرس و دیررس برمی- آید، پراکنش فضایی آن‌ها در سطوح موردنبررسی تفاوت ملموسی ندارد فقط در تاریخ رخداد آن‌ها تفاوت وجود دارد به گونه‌ای که در سطح احتمالاتی ۷۵ درصد زودترین یخبندان (زودرس پاییزه)، در ایستگاه‌های مذکور با ۱۰ روز تأخیر نسبت به میانگین (سطح ۵۰٪) تا ۲۹ مهر الی ۱۴ آبان اتفاق می‌افتد. دیرترین یخبندان زودرس در ایستگاه‌های یادشده در فاصله‌ی ۳۰ دی تا ۱۴ بهمن رخ خواهد داد. در سطح ۹۵ درصد زودترین یخبندان زودرس پاییزه، در ایستگاه‌های مذکور با ۲۰ روز تأخیر نسبت به میانگین (سطح ۵۰٪) از ۹ آبان تا ۲۴ آبان اتفاق می‌افتد. دیرترین یخبندان زودرس در ایستگاه‌های یاد شده از ۱۰ بهمن تا ۲۴ بهمن می‌باشد شکل (۲) و جدول (۳).

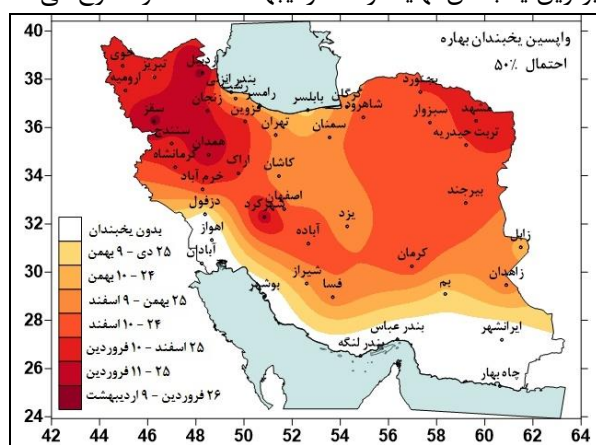


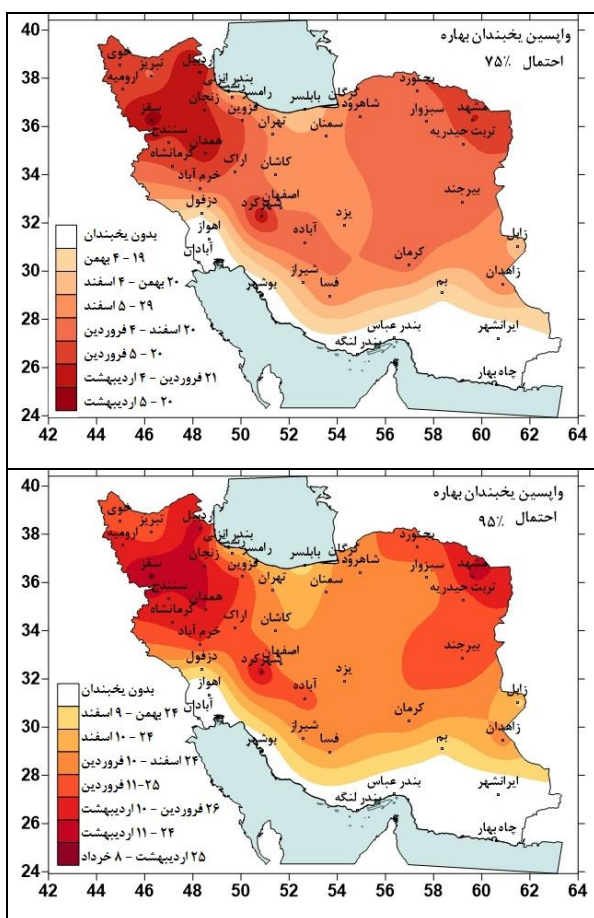


شکل(۲): تاریخ احتمال رخداد یخبندان زودرس پاییزه، در سطوح ۵۰، ۷۵ و ۹۵ درصد

### برآورد رخداد واپسین روز یخبندان

در سطح احتمال ۵۰ درصد زودترین میانگین رخداد آخرین روز یخبندان در ایران در نوار باریکی کمی دورتر از سواحل شمالی خلیج فارس و دریای عمان و موازی با سواحل در بازه‌ی زمانی ۲۵ دی تا ۹ بهمن ماه رخ می‌دهد. همچنین دیرترین روز میانگین سالانه‌ی پایان یخبندان در ایران در اردبیل، سقز، همدان و شهرکرد در غرب و شمال‌غرب و مشهد در شمال شرق کشور رخ می‌دهد. به طوریکه در این مناطق رخداد آخرین روز یخبندان گاهی تا اواخر فروردین و اوایل اردیبهشت به تقویق می‌افتد. یافته‌های محمودی و همکاران (۱۳۹۲) در این زمینه تا حدود زیادی منطبق با نتایج پژوهش فعلی است. در سطح احتمالاتی ۷۵ درصد زودترین رخداد آخرین روز یخبندان، در ایستگاه‌های مذکور با ۱۱ روز تأخیر نسبت به میانگین (سطح ۵۰٪) تا ۱۹ تا ۴ بهمن ماه اتفاق می‌افتد. دیرترین یخبندان زودرس تا ۲۰-۵ اردیبهشت رخ خواهدداد. در سطح ۹۵ درصد زودترین یخبندان زودرس پاییزه، در ایستگاه‌های مذکور با ۱۶ روز تأخیر نسبت به میانگین (سطح ۵۰٪)، ۲۴ بهمن الی ۹ اسفند اتفاق می‌افتد. دیرترین یخبندان نهایتاً از ۲۵ اردیبهشت تا ۸ خرداد رخ می‌دهد (شکل ۳ و جدول ۳).





شکل (۳): تاریخ احتمال رخداد یخنیان دیررس بهاره، در سطوح ۵۰، ۷۵ و ۹۵ درصد

جدول(۳): تاریخ احتمال رخداد یخبندان زودرس پاییزه و دیررس بهاره بر اساس روز ژولیوسی، در سطوح احتمالاتی ۵۰، ۷۵ و ۹۵ درصد

تعیین تابع توزیع احتمالاتی یخنده‌های ایران طی ۱۹۸۱-۲۰۱۰

۱۱

روزشمار پایان یخندهان			روزشمار آغاز یخندهان			ایستگاه
۵۰%	۷۵%	۹۵%	۵۰%	۷۵%	۹۵%	
۲۲۶	۲۳۴	۲۴۷	۷۴	۸۱	۹۰	خوی
۲۱۹	۲۲۸	۲۳۸	۸۳	۸۰	۱۰۱	تبریز
۲۵۴	۲۶۱	۲۷۱	۵۲	۶۷	۷۸	اردبیل
۲۲۷	۲۳۸	۲۵۶	۷۸	۸۳	۹۳	ارومیه
۱۷۵	۱۸۷	۲۰۶	۱۶۳	۱۷۲	۱۸۰	بندر انزلی
۱۹۵	۲۰۶	۲۲۱	۱۱۹	۱۳۰	۱۵۲	رشت
۲۲۰	۲۲۸	۲۴۳	۷۰	۸۱	۸۸	پجنورد
۲۵۴	۲۶۶	۲۸۳	۵۹	۶۸	۸۱	سقز
۲۳۹	۲۵۳	۲۶۷	۶۳	۸۲	۸۶	زنجان
۲۲۳	۲۳۱	۲۴۹	۸۳	۸۷	۹۶	قزوین
۱۸۵	۱۹۹	۲۱۱	۱۴۱	۱۶۰	۱۷۶	رامسر
۱۶۹	۱۸۴	۱۹۹	۱۴۶	۱۶۵	۱۸۰	باپلسر
۱۹۸	۲۱۱	۲۲۷	۱۱۸	۱۳۳	۱۶۲	گرگان
۲۱۴	۲۲۳	۲۳۴	۹۱	۱۰۰	۱۱۵	شهرورد
۲۰۷	۲۱۶	۲۲۶	۹۸	۱۱۰	۱۳۳	سبزوار
۲۳۲	۲۴۶	۲۶۹	۸۹	۱۱۳	۱۳۰	مشهد
۲۲۷	۲۳۸	۲۵۹	۷۵	۸۲	۸۸	سنندج
۲۰۲	۲۱۲	۲۲۱	۱۴۵	۱۲۱	۱۴۵	تهران
۲۰۱	۲۱۰	۲۲۲	۱۰۱	۱۱۳	۱۳۵	سمنان
۲۱۸	۲۲۶	۲۴۱	۶۳	۷۴	۹۱	تربت حیدریه
۲۲۴	۲۳۳	۲۵۵	۷۹	۸۵	۹۱	کرمانشاه
۲۴۳	۲۵۲	۲۶۵	۵۵	۶۵	۷۷	همدان
۲۲۱	۲۲۶	۲۳۸	۸۲	۸۵	۹۵	اراک
۲۱۶	۲۲۳	۲۴۹	۸۸	۹۵	۱۰۸	خرم آباد
۱۹۴	۲۰۶	۲۲۲	۱۰۳	۱۱۱	۱۲۸	کاشان
۱۵۶	۱۷۳	۱۹۹	۱۴۵	۱۵۹	۱۷۳	دزفول
۲۴۷	۲۵۸	۲۷۲	۵۵	۶۳	۷۱	شهرکرد
۲۰۷	۲۱۴	۲۲۵	۸۸	۹۷	۱۱۲	اصفهان
۲۱۵	۲۲۶	۲۴۹	۶۰	۷۲	۸۸	بیرجند
۲۲۰	۲۲۷	۲۳۹	۷۸	۸۳	۹۳	آباده
۱۹۶	۲۰۶	۲۲۴	۹۷	۱۰۶	۱۲۰	یزد
۱۸۵	۱۹۳	۲۰۳	۱۰۸	۱۱۹	۱۴۸	زابل
۲۱۵	۲۲۳	۲۳۰	۷۵	۸۱	۸۸	کرمان
۱۸۹	۲۰۱	۲۲۴	۱۰۰	۱۱۱	۱۳۳	شیرواز
۱۵۷	۱۷۳	۱۹۲	۱۳۵	۱۴۸	۱۶۷	بم
۲۰۱	۲۱۴	۲۲۷	۹۰	۹۸	۱۱۱	زاہدان

### نتیجه گیری

نتایج برآش توزیع‌های گوناگون، با استفاده از آزمون نکویی برآش آندرسن-دارلینگ، بیانگر این است که بیشتر ایستگاه‌ها از توزیع ویکبی پیروی می‌کنند. پراکنش فضایی تاریخ شروع و پایان یخبدان در سطح مورد بررسی تفاوت ملموسی ندارد فقط در تاریخ رخداد آن‌ها تفاوت وجود دارد به گونه‌ای که بر اساس محاسبات انجام شده در سطح احتمالاتی ۵۰٪ (میانگین سالانه‌ی رخداد یخبدان) میانگین رخداد اولین روز یخبدان در حد فاصل ۱۹ مهر تا ۴ آبان در ارتفاعات شمال غربی (سقز، همدان، اردبیل و زنجان)، شمال شرقی (جنورد، تربت حیدریه و بیرجند و همچنین در ارتفاعات زاگرس مرکزی (شهرکرد) رخ می‌دهد. دیرترین میانگین آن نیز در حدفاصل ۲۰ دی تا ۴ بهمن کمی دورتر از سواحل جنوبی ایران در نوار باریکی موازی با ساحل و قسمت‌هایی از سواحل شمالی (از بابلسر تا بندر انزلی) اتفاق افتاده است. در سطح احتمالاتی ۷۵ درصد زودترین یخبدان (زودرس پاییزه)، در ایستگاه‌های مذکور با ۱۰ روز تأخیر و در سطح ۹۵ درصد زودترین روز یخبدان زودرس پاییزه، با ۲۰ روز تأخیر نسبت به میانگین (سطح ۵۰٪) می‌باشد. زودترین رخداد آخرین روز یخبدان در ایران در سطح احتمال ۵۰ درصد در نوار باریکی کمی دورتر از سواحل شمالی خلیج فارس و دریای عمان و موازی با سواحل در بازه‌ی زمانی ۲۵ دی تا ۹ بهمن‌ماه به وقوع می‌پیوندد. همچنین دیرترین روز میانگین سالانه‌ی پایان یخبدان در ایران در اردبیل، سقز، همدان و شهرکرد در غرب و شمال‌غرب و مشهد مربوط به شمال شرق کشور است. به طوریکه در این مناطق رخداد آخرین روز یخبدان گاهی تا اواخر فروردین و اوایل اردیبهشت به تعویق می‌افتد. در سطح احتمالاتی ۷۵ درصد زودترین رخداد آخرین روز یخبدان، در ایستگاه‌های مذکور با ۱۱ روز تأخیر و در سطح ۹۵ درصد زودترین یخبدان زودرس پاییزه، با ۱۶ روز تأخیر نسبت به میانگین (سطح ۵۰٪) می‌باشد.

آرایش فضایی این ویژگی‌ها در ایران نشان داد که توزیع مکانی آن‌ها تابعی از عرض جغرافیایی و ارتفاع است. به طوریکه از جنوب تا مرکز ایران که ارتفاعات مرتفع در آن کمتر است، دارای آرایش منظم غربی-شرقی است، اما از مرکز ایران به سمت شمال که ارتفاعات مرتفع نقش بارزتری پیدا می‌کنند، این آرایش وجود نداشته و بیشتر تابع ارتفاعات می‌گردد. علاوه بر این دو عامل زمین-اقلیم، شروع و خاتمه‌ی یخبدان‌ها در ایران تابعی از شرایط سینوپتیکی حاکم بر منطقه نیز می‌باشد. به طوریکه شمال‌غرب، شمال‌شرق و غرب ایران به دلیل نزدیکی بیشتر با سرزمین‌های سرد شمالی، همچون سیبری و اروپای شمالی و همچنین ورود زودتر سیستم بادهای غربی به این مناطق در مقایسه با دیگر مناطق ایران باعث شده است که دارای شرایط متفاوتی از لحظه ویژگی‌های آماری یخبدان باشند. بنابراین آرایش ویژگی آماری یخبدان در ایران هم تابع عوامل زمین-اقلیم و هم تابع سیستم‌های سینوپتیکی وارد شده به کشور است ( محمودی و همکاران، ۱۳۹۲: ۶۴-۶۳).

یکی از مواردی که نتایج این پژوهش را از پژوهش‌های مشابه قبلی متمایز می‌کند تفاوت نتایج آن با پژوهش‌های پیشین است که با چند توزیع متداول انجام گرفته بود. این تفاوت‌ها مربوط به طول دوره‌ی آماری و گزینش تابع مورد استفاده جهت برآورد تاریخ رخداد یخبدان‌هاست. به نحوی که کمالی و نوخدان (۱۳۸۴) با استفاده از تابع احتمال ویبول تاریخ آغاز و پایان یخبدان‌های ایران را به منظور تعیین نقش آن‌ها در حمل و نقل جاده‌ای در ایران شناسایی کردند. در حالی که در پژوهش فعلی تابع ویبول فقط بر داده‌های ایستگاه‌های

سبزوار، یزد و سمنان بهترین برازش را دارد. حجازی‌زاده و ناصرزاده (۱۳۸۶) در تجزیه و تحلیل یخندان در استان لرستان مشخص نمودند که توزیع نرمال نسبت به بقیه توزیع‌ها با سری‌های موجود تناسب بیشتری دارد و در این پژوهش توزیع ویکبی تناسب بیشتری بر داده‌های ایستگاه خرم‌آباد دارد. نوحی و همکاران (۱۳۸۷) مشخص نمودند که سری‌های تاریخ‌های شروع و خاتمه‌ی یخندان‌های فارافتی در نواحی زنجان، قزوین و تهران تصادفی بوده و با توزیع نرمال برازش خوبی دارند. محاسبات کنونی بیانگر این است که تاریخ یخندان‌های زودرس و دیررس زنجان از توزیع ویکبی و در قزوین از ویکبی و لوگ لوجستیک  $p^3$  و در تهران از توابع حدی تعییم‌یافته و ویکبی تبعیت می‌نمایند. رضایی و عابد (۱۳۸۹) دریافتند که تاریخ‌های شروع یخندان پاییزه و پایان یخندان بهاره‌ی رشت از تابع توزیع احتمال نرمال تبعیت می‌نماید. در محاسبات انجام گرفته‌ی فعال توزیع لوجستیک تعییم‌یافته انتخاب شده‌است. طاووسی و درخشی (۱۳۸۹) توزیع پیرسون تیپ ۳ را بهترین توزیع برازش داده برداده‌های ژولیوسی اولین یخندان‌های زودرس پاییزه و آخرین یخندان‌های دیررس بهاره‌ی ایستگاه زاهدان تشخیص داده‌اند. در حالی که در ایستگاه زاهدان یخندان‌های زودرس پاییزه از توزیع ویکبی و آخرین یخندان‌های دیررس بهاره از توزیع بتا تبعیت می‌نمایند. مقایسه‌ی نتایج به دست آمده با پژوهش‌های قبلی و بررسی مجدد آن نشان می‌دهد که توزیع‌های جدید برازش مناسبتری با داده‌ها دارند در نتیجه دقت بیشتری در برآورد متغیرهای وجود دارد. بنابراین پیشنهاد می‌شود در تحقیقات بعدی با آزمون توزیع‌های متعدد احتمالاتی آماری که وجود دارد توزیع‌های بهینه را شناسایی شده و با دقت بیشتری به برآورد متغیرهای مورد نظر برای دوره‌ها و سطوح احتمالاتی مختلف اقدام گردد.

#### منابع

- اقتداری، مهرنوش، سید محمد موسوی بایگی، غلامعلی کمالی و امین علیزاده (۱۳۸۶). بررسی و تعیین نوع یخندان در استان خراسان رضوی. پژوهش کشاورزی: آب، خاک و گیاه در کشاورزی، ۷(۴): ۱۵۱-۱۴۱.
- حجازی‌زاده، زهرا و محمدحسین ناصرزاده (۱۳۸۶). تجزیه و تحلیل یخندان در استان لرستان. نشریه علوم جغرافیایی، ۸(۶): ۴۷-۳۱.
- رضایی، پرویز و حسین عابد (۱۳۸۹). بررسی روند تغییرات دمای حداقل در ایستگاه همدیدی شهر رشت با تأکید بر دوره یخندان. فصلنامه جغرافیا و مطالعات محیطی، ۴(۲): ۴۸-۳۹.
- ریچارد ال، اسنایدر و زوت. پاولو ملو-آبرئو، ۱۳۹۱، محافظت از یخندان در کشاورزی (اصول کاربردها و تحلیل اقتصادی). محمد رحیمی، چاپ اول، انتشارات دانشگاه سمنان، ۲، ص ۳.
- طاوسی، تقی و جعفر درخشی (۱۳۸۹). تحلیل آماری احتمال رخداد و دوره‌های برگشت یخندان‌های زودرس و دیررس زاهدان در دوره آماری (۱۳۸۶-۱۳۶۰). مجله علمی - پژوهشی فضای جغرافیایی، ۳۰(۱۰): ۱۰۴-۸۹.
- ضیایی، علیرضا، علی اکبر کامگار حقیقی، علیرضا سپاسخواه و سعید رنجبر (۱۳۸۵). تعیین اطلس احتمال رخداد کمینه دمای استان فارس با استفاده از آمار هواشناسی. فصلنامه علوم و فنون کشاورزی و منابع طبیعی، ۳(۱۰): ۲۶-۱۳.

- عساکر، حسین (۱۳۸۹). احتمال توادر و تداوم یخبندان های زودرس و دیررس در شهر زنجان. *مجله جغرافیا و برنامه ریزی محیطی*, ۲۱(۳۷) : ۱-۱۶.
- علیجانی، بهلول، پیمان محمودی، الهبخش ریگی چاهی و پرویز خسروی (۱۳۸۹). بررسی تداوم روزهای یخبندان در ایران، با استفاده از مدل زنجیره مارکوف. *پژوهش‌های جغرافیای طبیعی*, ۷۳: ۱-۲۰.
- کمالی، غلامعلی (۱۳۸۱). سرماهای زیانبخش به کشاورزی ایران در قالب معیارهای احتمالاتی مطالعه موردی: تهران. *فصلنامه پژوهش‌های جغرافیایی*, ۱۷-۱۶: ۱۴۹-۱۶۵.
- کمالی، غلامعلی و مجید حبیبی نوخدان (۱۳۸۴). بررسی توزیع زمانی- مکانی یخبندان در ایران و نقش آن در حمل و نقل جاده‌ای. *پژوهشنامه حمل و نقل*, ۲: ۱۲۶-۱۳۵.
- محمدی، حسین و مجید گزل خو (۱۳۸۹). تاثیر یخبندان های زودرس پاییزه و دیررس بهاره بر کشت غلات در شهرستان کرج. *فصلنامه جغرافیایی سرزمین*, ۲۷(۷): ۹۳-۱۰۹.
- محمودی، پیمان (۱۳۹۱). پهنه‌بندی و پایش یخبندان های ایران. *پایان‌نامه دکتری اقلیم‌شناسی، دانشکده‌ی جغرافیا و برنامه‌ریزی محیطی*. دانشگاه سیستان و بلوچستان، مهر ۹۱.
- محمودی، پیمان، محمود خسروی، سید ابوالفضل مسعودیان و بهلول علیجانی (۱۳۹۲). *اطلس اقلیم‌شناسی ویژگیهای آماری یخبندان های ایران*. *فصلنامه تحقیقات جغرافیایی*, ۲۸(۴): ۵۵-۶۶.
- مسعودیان، سید ابوالفضل (۱۳۹۰). آب و هوای ایران. چاپ اول، انتشارات شریعه توسع، مشهد.
- ملکی نژاد، حسین و محمد ملکشاهی (۱۳۹۲). *شناسایی بهترین توزیع احتمالاتی برای تحلیل فراوانی دبی های کمینه ( مطالعه موردی: رودخانه های استان لرستان)*. نشریه علمی-پژوهشی علوم مهندسی و آبخیزداری ایران. ۷(۲۲): ۱۵-۲۸.
- مولی نژاد، محمود (۱۳۹۳). *مطالعه‌ی آماری ویژگی‌های یخبندان در ایستگاه سینوپتیک سقز*. محیط، ۴۰(۴): ۸۹۱-۹۰۰.
- میان آبادی، آمنه، محمد موسوی بایگی، حسین شنایی نژاد و احمد نظامی (۱۳۸۸). بررسی و پهنه‌بندی یخبندان های زود هنگام پاییزه، دیر هنگام بهاره و زمستانه با استفاده از GIS در استان خراسان رضوی. *مجله آب و خاک (علوم و صنایع کشاورزی)*, ۲۳(۱): ۹۰-۷۹.
- میرموسوی، سیدحسن، مصطفی حسین بابایی (۱۳۹۰). *مطالعه توزیع زمانی- مکانی احتمال وقوع یخبندان در استان زنجان*. *مجله جغرافیا و برنامه ریزی محیطی*, ۲۲(۳): ۱۸۴-۱۶۷.
- Anandhi, A., Perumal, S., Gowda, P. H., Knapp, M., Hutchinson, S., Harrington Jr, J., ... & Rice, C. W. (2013). *Long-term spatial and temporal trends in frost indices in Kansas, USA*. *Climatic Change*, 120(1-2), 169-181.
- Anderson, T. W. (2011). *Anderson-Darling tests of goodness-of-fit*. In International Encyclopedia of Statistical Science (pp. 52-54). Springer Berlin Heidelberg.

- Cittadini, E. D., N. De Ridder, P. L. Peri, and H. V. Keulen (2006). **A method for assessing frost damage risk in sweet cherry orchards of South Patagonia.** Agricultural and forest meteorology, 141, 235-243
- Cooter, E. J., S. K. Leduc (1995). **Recent frost date trends in the North-Eastern USA.** International journal of climatology, 15, 65-75.
- Hosseini, A., Fallahnezhad, M. S., Zare-Mehrjardi, Y., & Hosseini, R. (2012). **Seasonal autoregressive models for estimating the probability of frost in Rafsanjan.** J. of Nut. Relat. Sci, 3(2), 45-52.
- Rosenberg, N. J., and R. E. Myers (1962). **The nature of growing season frosts in and along the Platte Valley of Nebraska.** Monthly weather review, 90(11): 471-476.
- Thom, H. C. S., and R. H. Shaw (1958). **Climatological analysis of freeze data for Iowa.** Monthly weather review, 86(7), 251-257.
- Waylen, P. R (1988). **Statistical analysis of freezing temperatures in central and southern Florida.** Journal of climatology, 8: 607-628.